

УДК 523.4

## Оптические характеристики галилеевых спутников Юпитера в спектральной области 0.347—0.792 мкм.

### II. Зависимость отражательной способности от орбитального фазового угла при $\alpha=6^\circ$

А. Н. Довгопол, В. И. Шавловский

Проведены фотоэлектрические наблюдения галилеевых спутников Юпитера в спектральной области 0.347—0.792 мкм с использованием 11 интерференционных фильтров ( $\Delta\lambda/\lambda \approx 2\%$ ). Получена зависимость отражательной способности спутников от орбитального фазового угла для солнечного фазового угла  $\alpha=6^\circ$ . Наибольшие отличия между орбитальными кривыми для  $\alpha=0^\circ$  и  $\alpha=6^\circ$  наблюдаются у Каллисто в УФ-области ( $\lambda=0.347$  мкм), наименьшие — у Европы во всем исследуемом спектральном диапазоне.

*OPTICAL CHARACTERISTICS OF THE GALILEAN SATELLITES OF JUPITER (0.347—0.792 μm). II. THE DEPENDENCE OF THE REFLECTIVITY ON THE ORBITAL PHASE ANGLE FOR  $\alpha=6^\circ$ , by Dovgopol A. N., Shavlovskij V. I.* — Photoelectric observations of the Galilean satellites have been carried out in the spectral region 0.347—0.792 μm using 11 interference filters ( $\Delta\lambda/\lambda \approx 2\%$ ). The dependence of the reflectivity on the orbital phase angle was obtained for the solar phase angle  $\alpha=6^\circ$ . The most significant differences between the orbital curves for  $\alpha=0^\circ$  and  $\alpha=6^\circ$  were observed for Callisto in the ultraviolet region ( $\lambda=0.347$  μm). The smallest differences were observed for Europa in the whole spectral region.

**Введение.** При уменьшении солнечного фазового угла  $\alpha$  от  $6^\circ$  до  $0^\circ$  яркость галилеевых спутников возрастает значительно быстрее, чем для  $\alpha > 6^\circ$ . Избыток блеска вблизи противостояния зависит главным образом от функции затенения элемента поверхности, определяемой структурой поверхности и ее пористостью [1]. Кроме того, пик яркости зависит от индикаторы рассеяния и альбедо отдельных частиц, образующих поверхность [1].

«Эффект противостояния» обычно моделируется параболой, для  $\alpha > 6^\circ$  принимается линейный фазовый закон. Тогда для полного описания фазовой кривой достаточно знать три параметра: блеск спутника в оппозицию ( $\alpha=0^\circ$ ), при  $\alpha=6^\circ$ , а также скорость изменения блеска для линейной части фазовой кривой [4]. При наблюдениях мы получаем данные о блеске спутников, зависящие не только от значения солнечного фазового угла  $\alpha$ , но и от орбитального угла  $\theta$ . При этом последняя зависимость может иметь различный вид для разных значений  $\alpha$ . Поэтому для корректного исследования зависимости блеска спутников от  $\alpha$  необходимо прежде всего располагать данными об орбитальных фазовых кривых при всех значениях  $\alpha$  (или хотя бы для некоторых их значений) и учитывать их. В предыдущей статье [2] такие данные мы привели для  $\alpha \approx 0^\circ$ . В данной работе приводятся орбитальные кривые для  $\alpha = 6^\circ$ .

**Наблюдения.** Наблюдения проводились в мае — июне 1983 г. на 60-см рефлекторе ГАО АН УССР (гора Майданак, УзССР) с помощью фотоэлектрического фотометра, работающего в режиме счета фотонов. Отдельные участки спектрального интервала 0.347—0.792 мкм вырезались при помощи 11 интерференционных фильтров ( $\Delta\lambda/\lambda \approx 2\%$ ). Аппаратура, методика наблюдений и учета прозрачности земной атмосферы описаны в [2].

Абсолютные значения распределения энергии в спектре звезды сравнения 9ω Oph авторы определяли путем привязки к звезде λ Vir, данные для которой взяты из каталога А. В. Харитонова и др. [5].

**Вычисление отражательной способности спутников.** Для вычисления спектральной отражательной способности спутников мы использовали выражение  $A_\lambda = (I_\lambda^{\text{сп}}/I_\lambda^*) (E_\lambda^*/E_\lambda^\odot) (rl/R)^2 P_\lambda^{\Delta M}$ , где  $A_\lambda$  — отражательная способность для длины волны  $\lambda$ ;  $I_\lambda^{\text{сп}}$  и  $I_\lambda^*$  — измеренные интенсивности спутника и звезды сравнения;  $E_\lambda^*$  и  $E_\lambda^\odot$  — внеатмосферные значения освещенности

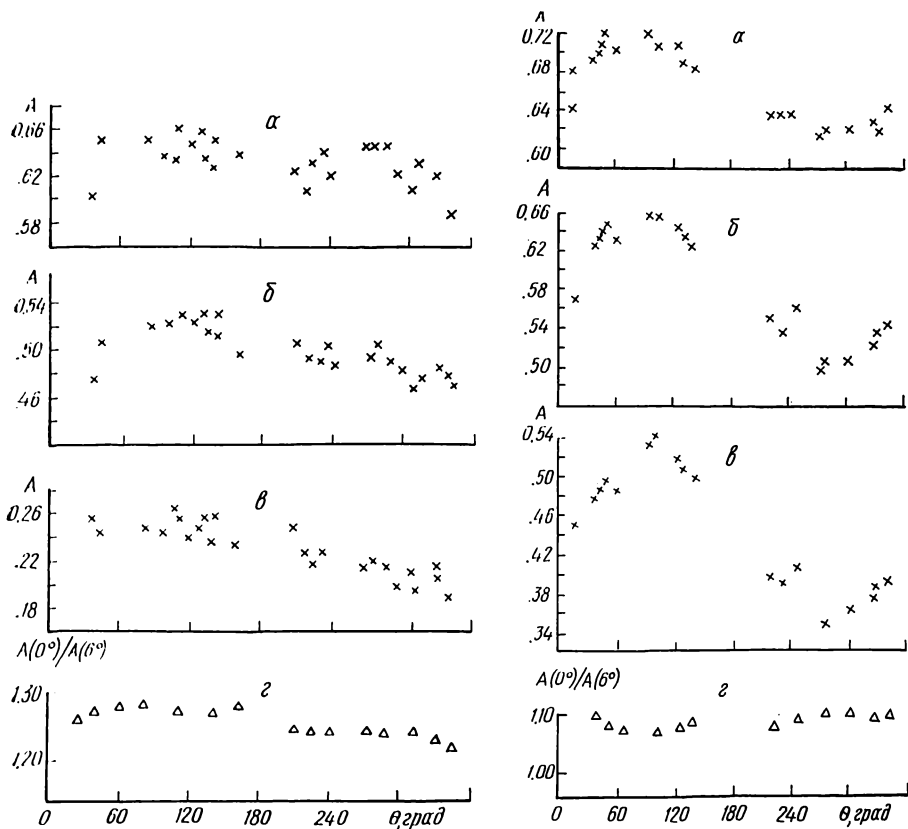


Рис. 1. Зависимость отражательной способности Ио от орбитального фазового угла  $\theta$  при  $\alpha=6^\circ$  для  $\lambda=0.755$  мкм (а),  $\lambda=0.540$  мкм (б),  $\lambda=0.347$  мкм (в). Отношение отражательной способности Ио при  $\alpha=0^\circ$  и  $\alpha=6^\circ$  для  $\lambda=0.540$  мкм (г)

Рис. 2. Зависимость отражательной способности Европы от орбитального фазового угла  $\theta$  при  $\alpha=6^\circ$  для  $\lambda=0.755$  мкм (а),  $\lambda=0.540$  мкм (б),  $\lambda=0.347$  мкм (в). Отношение отражательной способности Европы при  $\alpha=0^\circ$  и  $\alpha=6^\circ$  для  $\lambda=0.540$  мкм (г)

для звезды сравнения и Солнца;  $R$  — радиус спутника;  $r$  и  $l$  — гелиоцентрические и геоцентрические расстояния спутников;  $P_\lambda$  — коэффициент прозрачности земной атмосферы;  $\Delta M$  — разность воздушных масс звезды и спутника.

Для радиусов спутников приняты значения, полученные с помощью космических аппаратов [8]: Ио — 1820 км, Европа — 1565 км, Ганимед — 2640 км, Каллисто — 2420 км (точность  $\pm 15$  км). Данные о распределении энергии в спектре Солнца взяты из [3].

Наблюдения выполнялись при  $\alpha=1\text{--}8^\circ$ . Для редукции полученных данных к  $\alpha=6^\circ$  поверхность каждого спутника разделялась по долготе на 2—3 отдельных участка, и для них использовались фазовые коэффициенты из [7]. Поскольку фазовые функции галилеевых спутников слабо зависят от длины волны [6, 7], то во всех длинах волн использовалась фазовая функция для  $\lambda=0.54$  мкм. Дополнив полученные данные новыми наблюдениями, мы в дальнейшем сможем выполнить указанную редукцию без привлечения дополнительных данных [7].

**Орбитальные вариации отражательной способности.** Полученная нами зависимость отражательной способности галилеевых спутников от орбитального фазового угла в трех участках спектра показана на рис. 1—4. Среднее квадратичное отклонение внутри каждой серии измерений (ошибка воспроизведимости) составляет в среднем 2—3 %.

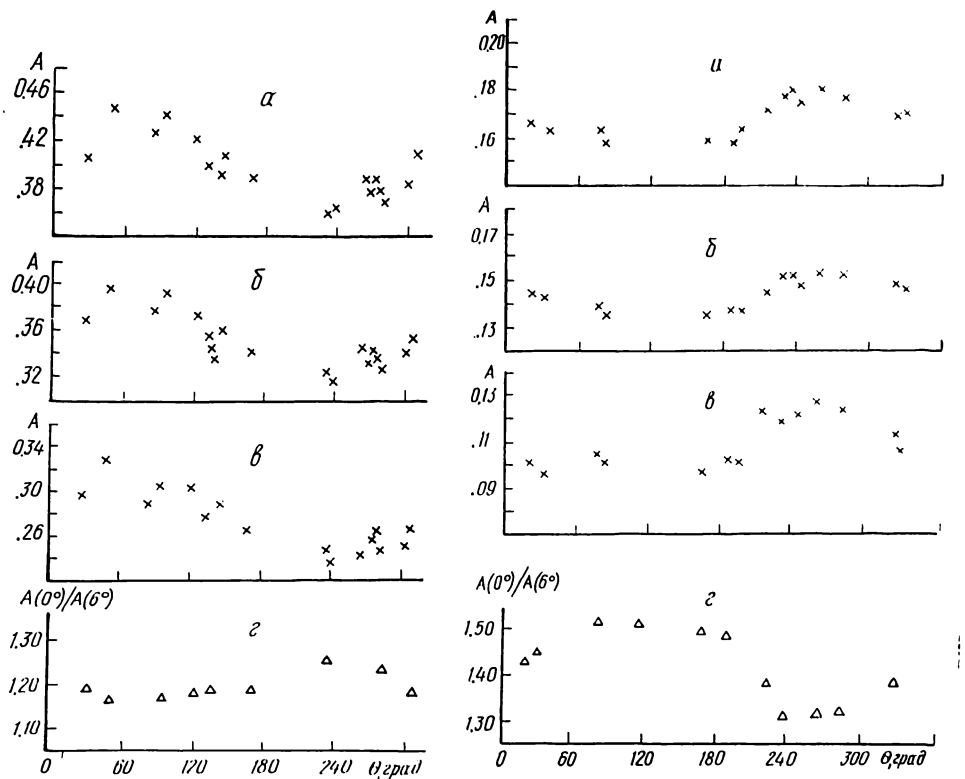


Рис. 3. Зависимость отражательной способности Ганимеда от орбитального фазового угла  $\theta$  при  $\alpha=6^\circ$  для  $\lambda=0.755$  мкм (а),  $\lambda=0.540$  мкм (б),  $\lambda=0.347$  мкм (в). Отношение отражательной способности Ганимеда при  $\alpha=0^\circ$  и  $\alpha=6^\circ$  для  $\lambda=0.540$  мкм (г).

Рис. 4. Зависимость отражательной способности Каллисто от орбитального фазового угла  $\theta$  при  $\alpha=6^\circ$  для  $\lambda=0.755$  мкм (а),  $\lambda=0.540$  мкм (б),  $\lambda=0.347$  мкм (в). Отношение отражательной способности Каллисто при  $\alpha=0^\circ$  и  $\alpha=6^\circ$  для  $\lambda=0.540$  мкм (г).

Погрешность в абсолютных значениях энергии звезды сравнения составляет  $\sim 4\%$ , Солнца  $\sim 3—4\%$ , ошибка учета прозрачности — около 1 %. Следовательно, суммарная ошибка значений отражательной способности достигает  $\sim 7\%$ .

У Ио и Европы амплитуда орбитальных вариаций отражательной способности в разных участках спектра примерно такая же, как и для случая оппозиции [2] (рис. 1—4). Подтверждается наличие темных красных деталей на ведомых полушариях этих спутников, о чем уже сообщалось в предыдущей статье [2].

У Ганимеда наблюдаются наибольшие среди всех спутников орбитальные вариации отражательной способности в красной области ( $\sim 20\%$ ). Значительные вариации имеются у этого спутника также и в УФ-области ( $\sim 30\%$ ). У Каллисто орбитальные вариации отражательной способности в оппозицию не превосходят 5—7 % [2], тогда как при  $\alpha=6^\circ$  они достигают 30 % в УФ-области ( $\lambda=0.347$  мкм) и 13—14 % для  $\lambda=0.540$  мкм и  $\lambda=0.755$  мкм.

На рис. 1—4 для  $\lambda=0.540$  мкм представлено отношение отражательной способности при  $\alpha=0^\circ$  и  $\alpha=6^\circ$ . Из рисунков видно, что наибольший оппозиционный эффект наблюдается у Каллисто для более

темного ведущего полушария:  $A(0^\circ)/A(6^\circ) \approx 1.5$ . Кроме того, у Каллисто наблюдаются и наибольшие отличия между полушариями: для ведомого полушария  $A(0^\circ)/A(6^\circ) \approx 1.3$ . Наименьший оппозиционный эффект имеет Европа:  $A(0^\circ)/A(6^\circ) = 1.06 \div 1.09$ . У Ио и Ганимеда оппозиционный эффект больше, чем у Европы, но меньше, чем у Каллисто. Для этих спутников  $A(0^\circ)/A(6^\circ) = 1.15 \div 1.27$ .

Итак, для галилеевых спутников Юпитера орбитальные фазовые зависимости являются функциями солнечного угла  $\alpha$ , что безусловно оказывается на получаемых данных о солнечных фазовых кривых спутников. Поэтому орбитальные кривые спутников для различных значений  $\alpha$  дадут возможность определять солнечные фазовые функции для отдельных участков поверхности, а из них — некоторые физические характеристики поверхностного слоя.

1. Веверка Дж. Фотометрия поверхности спутников // Спутники планет.— М.: Мир, 1980.— С. 203—243.
2. Довгопол А. Н., Шавловский В. И. Оптические характеристики галилеевых спутников Юпитера в спектральной области 0.347—0.792 мкм. I. Зависимость отражательной способности от орбитального фазового угла вблизи оппозиции // Кинематика и физика небес. тел.—1985.—1, № 4.— С. 29—36.
3. Макарова Е. А., Харитонов А. В. Распределение энергии в спектре Солнца и солнечная постоянная.— М.: Наука, 1972.—288 с.
4. Моррисон Д., Моррисон Н. Фотометрия галилеевых спутников // Спутники планет.— М.: Мир, 1980.— С. 402—417.
5. Харитонов А. В., Терещенко В. М., Князева Л. Н. Сводный спектрофотометрический каталог звезд.— Алма-Ата : Наука, 1978.—197 с.
6. Lockwood G. W., Thompson D. T., Lumme K. A possible detection of solar variability from photometry of Io, Europe, Callisto, and Rhea, 1976—1979 // Astron. J.—1980.—85, N 7.— P. 961—968.
7. Millis R. L., Thompson D. T. UVB photometry of the Galilean satellites // Icarus.—1975.—26, N 4.— P. 408—419.
8. Smith B. A., Soderblom L. A., Johnson T. V. The Jupiter system through the eyes of Voyager 1 // Science.—1979.—204, N 4396.— P. 951—971.

Глав. астрон. обсерватория АН УССР,  
Киев

Поступила в редакцию 09.08.85,  
после доработки 19.09.85

## РЕФЕРАТ ДЕПОНИРОВАННОЙ РУКОПИСИ

УДК 524.3

**СПЕКТРОФОТОМЕТРИЧЕСКИЕ СТАНДАРТЫ 6.5—8.5 ЗВЕЗДНОЙ ВЕЛИЧИНЫ /**  
**Пантелейев С. К.**

(Рукопись деп. в ВИНТИ; № 1172—B86)

В работе предложен список звезд ранних спектральных классов, пригодных в качестве спектрофотометрических стандартов 6.5—8.5<sup>m</sup>. Приводятся рекомендуемые распределения энергии в спектрах этих звезд в области 330—850 нм, вычисленные на основе усредненных спектрофотометрических и фотометрических данных.